

МЕХАНИКА ДЕФОРМИРУЕМОГО ТВЕРДОГО ТЕЛА

УДК 621.039.54+539.376

И.С. КУЛИКОВ, д-р физ.-мат. наук, С.А. КЛУС

Объединенный институт энергетических и ядерных исследований — Сосны НАН Беларуси, Минск

МЕТОД РАСЧЕТА НАПРЯЖЕННО-ДЕФОРМИРОВАННОГО СОСТОЯНИЯ ТЕЛ ЦИЛИНДРИЧЕСКОЙ ГЕОМЕТРИИ КОНЕЧНОЙ ДЛИНЫ ПРИ НЕРАВНОМЕРНОМ НАГРЕВЕ И ОБЛУЧЕНИИ

Рассмотрены основные типы деформаций, возникающих в телах цилиндрической геометрии под действием терморрадиационных нагрузок. Выведены основные соотношения для оценки напряженно-деформированного состояния полого короткого цилиндра при неравномерном нагреве и облучении с учетом деформаций ползучести и пластичности. Предложена математическая модель для численного решения такого типа задач

Ключевые слова: типы деформаций, неравномерный нагрев, пластичность, ползучесть, облучение, напряженно-деформированное состояние, математическая модель

В работе предлагается исследование напряженно-деформированного состояния тел цилиндрической геометрии на примере полого короткого цилиндра при неравномерном нагреве, ползучести и облучении с учетом пластических деформаций.

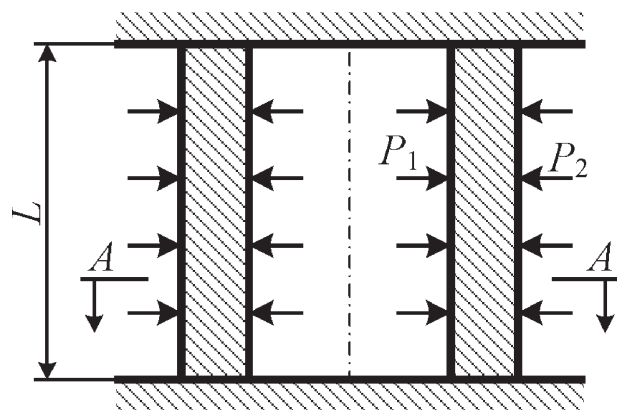
Задачи такого рода рассматривали Лихачев Ю.И., Попов В.В., Тутнов А.А., Ткачев В.В., однако, большинство этих работ связаны с определением НДС для более частных случаев — бесконечно длинных тел. При этом зачастую не рассматривались такие важные компоненты, как необратимые механические деформации (ползучесть и пластичность), которые возникают в конструкции при воздействии на нее поля высоких температур и нейтронного облучения. Авторами предлагается, используя численные методы, сделать расчеты такого типа задач, но в плоскости двух координат — r, z , что к настоящему моменту еще не изучено.

Для этого был рассмотрен полый короткий цилиндр внутренним радиусом R_1 и внешним радиусом R_2 , жестко закрепленный на концах, под действием внутренней P_1 и внешней P_2 распределенной нагрузки (рисунок 1), поля высоких температур, нейтронного облучения с учетом пластичности, тепловой и радиационной ползучести. Для описания пластичности и ползучести применим теорию течения — наиболее часто используемой в практике.

Вспользуемся следующими предположениями теории пластического течения для терморрадиационной постановки задачи [1, 2].

1. Приращение полной деформации представляется в виде суммы:

$$d\varepsilon_{ij} = d\varepsilon_{ij}^e + d\varepsilon_{ij}^p + d\varepsilon_{ij}^C + d\varepsilon_{ij}^T + d\varepsilon_{ij}^S, \quad (1)$$



A-A

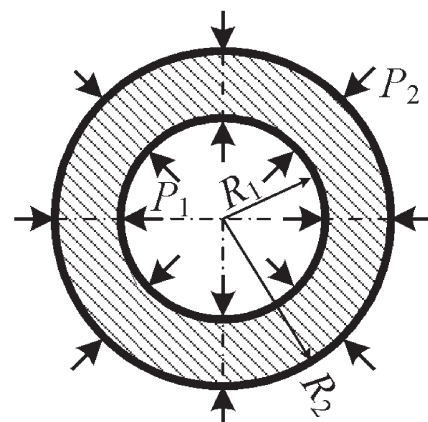


Рисунок 1 — Схема нагружения полого короткого цилиндра

где ε_{ij} — полная деформация, ε_{ij}^e — упругая деформация, ε_{ij}^p — мгновенная пластическая деформация, ε_{ij}^c — суммарная деформация тепловой и радиационной ползучести, ε_{ij}^T — деформации, вызванные термическим расширением, ε_{ij}^S — деформации, вызванные радиационным распуханием, $i, j=1, 2, 3$.

Деформации, вызванные объемными изменениями, можно представить в следующем виде:

$$\varepsilon_{ij}^T = \alpha T(r; z), \quad \varepsilon_{ij}^S = 1/3 \cdot S(T(r; z), \Phi), \quad (2)$$

где $T(r; z)$ и $S(T(r; z), \Phi)$ — заданные функции термического расширения и радиационного распухания соответственно, $\Phi = \phi t$ — интегральный нейтронный поток, ϕ — плотность нейтронного потока, t — время облучения, α — коэффициент линейного расширения, который в общем случае может зависеть от T .

Если температура T_j на внутренней поверхности распределена равномерно, а температура на внешней поверхности равна нулю, то температурное поле $T(r; z)$ в произвольной точке, записывается следующим соотношением [3]:

$$T(r; z) = \frac{T_j}{\ln(R_2/R_1)} (\ln(R_2) - \ln(r)). \quad (3)$$

Для данного прочностного расчета весьма существен учет зависимости неравномерно распределенного радиационного распухания от температуры. Рядом авторов [4, 5] на основе обработки экспериментальных результатов предложены эмпирические зависимости для определения радиационного распухания конструкционных сталей:

$$S(T(r; z), \Phi) = A_0 \cdot (\Phi t)^m \cdot 10^{\left(\frac{a}{T(r; z)} - \frac{b}{T(r; z)^2}\right)}, \quad (4)$$

где A_0, m, a, b — некоторые константы, определяемые экспериментально.

2. Приращения пластической деформации пропорциональны составляющим девиатора напряжений:

$$d\varepsilon_{ij}^p = S_{ij} d\psi, \quad (5)$$

где скалярная величина $d\psi$, характеризующая пластическое деформирование, одинакова для всех направлений, $S_{ij} = \sigma_{ij}^p - \sigma$ — компоненты девиатора напряжений.

3. Приращение деформаций ползучести определяются, как и в теории течения, с той лишь разницей, что используется зависимость $\dot{\varepsilon}_u^c = f(\sigma_u, T, \varepsilon_u^c, \Phi t)$ для скорости ползучести:

$$d\varepsilon_{ij}^c = \dot{\varepsilon}_{ij}^c dt = \frac{3}{2} \frac{S_{ij}}{\sigma_u} f(\sigma_u, T, \varepsilon_u^c, \Phi t) dt. \quad (6)$$

Таким образом, можно заключить, что получены все необходимые компоненты, входящие в уравнение (1), и можно записать необходимые уравнения для определения напряженно-деформированного состояния полого короткого цилиндра.

Уравнение равновесия (уравнение Навье) для полого короткого цилиндра в цилиндрической системе координат запишем следующим образом:

$$\begin{cases} \frac{\partial \sigma_{11}}{\partial \rho} + \frac{\sigma_{11} - \sigma_{22}}{\rho} + \frac{\partial \sigma_{13}}{\partial \xi} = 0, \\ \frac{\partial}{\partial \rho} (\rho \sigma_{13}) + \rho \frac{\partial \sigma_{33}}{\partial \xi} = 0, \end{cases} \quad (7)$$

здесь индекс 1 соответствует направлению r , 2 — φ , 3 — z .

Следует отметить, что в цилиндрической системе координат (r, φ, z) поле напряжений и деформаций имеет

отличные от нуля компоненты $\sigma_{11}, \sigma_{22}, \sigma_{33}, \sigma_{13} = \sigma_{31}, \varepsilon_{11}, \varepsilon_{22}, \varepsilon_{33}, \varepsilon_{13} = \varepsilon_{31}$. Кроме этого, были введены относительные координаты $\xi = z/R_1$ и $\rho = r/R_1$, изменяющихся в пределах $0 \leq \xi \leq L/R_1$ и $1 \leq \rho \leq R_2/R_1$.

Соотношения между составляющими тензора деформаций и вектора перемещений имеют следующий вид (соотношения Коши):

$$\begin{aligned} \varepsilon_{11} &= \frac{1}{R_1} \frac{\partial u}{\partial \rho}; \quad \varepsilon_{22} = \frac{1}{R_1} \frac{u}{\rho}; \\ \varepsilon_{33} &= \frac{1}{R_1} \frac{\partial w}{\partial \xi}; \quad \varepsilon_{13} = \frac{1}{R_1} \left(\frac{\partial u}{\partial \xi} + \frac{\partial w}{\partial \rho} \right), \end{aligned} \quad (8)$$

где u и w — компоненты вектора перемещений в радиальном и осевом направлении соответственно.

Физические уравнения (формулы обобщенного закона Гука) в предположении изотропности материала и принципа аддитивности деформаций с учетом предположения (1) примут следующий вид:

$$\begin{cases} \varepsilon_{11} = \frac{1}{E} \cdot (\sigma_{11} - \nu \cdot (\sigma_{22} + \sigma_{33})) + \alpha \varepsilon^T + \varepsilon^S + \varepsilon_{11}^c + \varepsilon_{11}^p, \\ \varepsilon_{22} = \frac{1}{E} \cdot (\sigma_{22} - \nu \cdot (\sigma_{11} + \sigma_{33})) + \alpha \varepsilon^T + \varepsilon^S + \varepsilon_{22}^c + \varepsilon_{22}^p, \\ \varepsilon_{33} = \frac{1}{E} \cdot (\sigma_{33} - \nu \cdot (\sigma_{11} + \sigma_{22})) + \alpha \varepsilon^T + \varepsilon^S + \varepsilon_{33}^c + \varepsilon_{33}^p, \\ \varepsilon_{13} = \varepsilon_{31} = \frac{1}{G} \cdot \sigma_{13} + \varepsilon_{13}^c + \varepsilon_{13}^p, \end{cases} \quad (9)$$

где E — продольный модуль упругости; G — модуль сдвига; ν — коэффициент Пуассона.

Для данной модели нагружения примем следующие граничные условия:

$$\begin{aligned} \sigma_{11} &= -P_1, \quad \sigma_{13} = \sigma_{31} = 0 \quad \text{при } \rho = 1, \\ \sigma_{11} &= -P_2, \quad \sigma_{13} = \sigma_{31} = 0 \quad \text{при } \rho = R_2/R_1, \\ u &= w = 0 \quad \text{при } \xi = 0 \quad \text{и } \xi = L/R_1. \end{aligned} \quad (10)$$

Решение задачи будем искать в перемещениях, т.е. выразим все искомые величины через перемещения u и w , тогда, согласно (8, 9) и с учетом условия несжимаемости материала, перепишем соотношение (7) в следующем виде:

$$\begin{cases} (1-\nu) \left(\frac{\partial^2 u}{\partial \rho^2} + \frac{1}{\rho} \frac{\partial u}{\partial \rho} - \frac{u}{\rho^2} \right) + \frac{1-2\nu}{2} \frac{\partial^2 u}{\partial \xi^2} + \\ + \frac{1}{2} \frac{\partial^2 w}{\partial \rho \partial \xi} = R_2 \cdot \left\{ (1+\nu) \frac{\partial \varepsilon^{ST}}{\partial \rho} + \right. \\ \left. + (1-2\nu) \left(\frac{\partial \varepsilon_{11}^{CP}}{\partial \rho} + \frac{1}{\rho} (\varepsilon_{11}^{CP} - \varepsilon_{22}^{CP}) + \frac{1}{2} \frac{\partial \varepsilon_{13}^{CP}}{\partial \xi} \right) \right\}, \\ \rho \frac{\partial^2 u}{\partial \rho \partial \xi} + \frac{\partial u}{\partial \xi} + (1-2\nu) \frac{\partial^2 w}{\partial \rho^2} + \\ + 2\rho(1-\nu) \frac{\partial^2 w}{\partial \xi^2} + (1-2\nu) \frac{\partial w}{\partial \rho} = \\ = R_2 \cdot \left\{ 2\rho(1+\nu) \frac{\partial \varepsilon^{ST}}{\partial \xi} + \right. \\ \left. + (1-2\nu) \left(2\rho \frac{\partial \varepsilon_{33}^{CP}}{\partial \xi} + \rho \frac{\partial \varepsilon_{13}^{CP}}{\partial \rho} + \varepsilon_{13}^{CP} \right) \right\}, \end{cases} \quad (11)$$

где $\varepsilon_{ij}^{CP} = \varepsilon_{ij}^c + \varepsilon_{ij}^p$, $\varepsilon_{13}^{CP} = \varepsilon_{13}^c + \varepsilon_{13}^p$, $\varepsilon^{TS} = \alpha \varepsilon^T + \varepsilon^S$.

Выражение (11) представляет систему нелинейных дифференциальных уравнений второго порядка в частных производных. Отметим, что в отличие от систем линейных дифференциальных уравнений для нелинейных систем неизвестны прямые методы решения. Лишь в отдель-

ных случаях систему можно решить непосредственно. Авторами предлагается решение данной системы итерационными методами или методами конечных разностей, представив результат в виде n -го числа решений, расположенных в узлах сетки, построенной на сечении цилиндра в координатах ρ и ξ (рисунок 2).

Перепишем выражения (11), представив частные производные в виде разностных схем:

$$\left\{ \begin{aligned} & (1-\nu) \left(\frac{u_{i+1}^j - 2u_i^j + u_{i-1}^j}{\Delta\rho^2} + \frac{1}{\rho_i} \frac{u_{i+1}^j - u_{i-1}^j}{2\Delta\rho} - \frac{u_i^j}{\rho_i} \right) + \\ & + \frac{1-2\nu}{2} \frac{u_i^{j+1} - 2u_i^j + u_i^{j-1}}{\Delta\xi^2} + \\ & + \frac{1}{2} \frac{w_{i+1}^{j+1} - w_{i+1}^{j-1} - w_{i-1}^{j+1} + w_{i-1}^{j-1}}{4\Delta\rho\Delta\xi} = \\ & = R_2 \cdot \left\{ (1+\nu) \frac{\varepsilon_{i+1,j}^{ST} - \varepsilon_{i-1,j}^{ST}}{2\Delta\rho} + \right. \\ & + (1-2\nu) \left(\frac{\varepsilon_{11i+1,j}^{CP} - \varepsilon_{11i-1,j}^{CP}}{2\Delta\rho} + \right. \\ & \left. \left. + \frac{1}{\rho} (\varepsilon_{11i,j}^{CP} - \varepsilon_{22i,j}^{CP}) + \frac{1}{2} \frac{\varepsilon_{13i,j+1}^{CP} - \varepsilon_{13i,j-1}^{CP}}{2\Delta\xi} \right) \right\}, \\ & \rho_i \frac{u_{i+1}^{j+1} - u_{i+1}^{j-1} - u_{i-1}^{j+1} + u_{i-1}^{j-1}}{4\Delta\rho\Delta\xi} + \frac{u_i^{j+1} - u_i^{j-1}}{2\Delta\xi} + \\ & + \rho_i (1-2\nu) \frac{w_{i+1}^j - 2w_i^j + w_{i-1}^j}{\Delta\rho^2} + \\ & + 2\rho_i (1-\nu) \frac{w_i^{j+1} - 2w_i^j + w_i^{j-1}}{\Delta\xi^2} + \\ & + (1-2\nu) \frac{w_{i+1}^j - w_{i-1}^j}{2\Delta\rho} = \\ & = R_2 \cdot \left\{ 2\rho_i (1+\nu) \frac{\varepsilon_{i,j+1}^{ST} - \varepsilon_{i,j-1}^{ST}}{2\Delta\xi} + (1-2\nu) \times \right. \\ & \left. \times \left(2\rho_i \frac{\varepsilon_{33i,j+1}^{CP} - \varepsilon_{33i,j-1}^{CP}}{2\Delta\xi} + \rho \frac{\varepsilon_{13i+1,j}^{CP} - \varepsilon_{13i-1,j}^{CP}}{2\Delta\rho} + \varepsilon_{13i,j}^{CP} \right) \right\}. \end{aligned} \right. \quad (12)$$

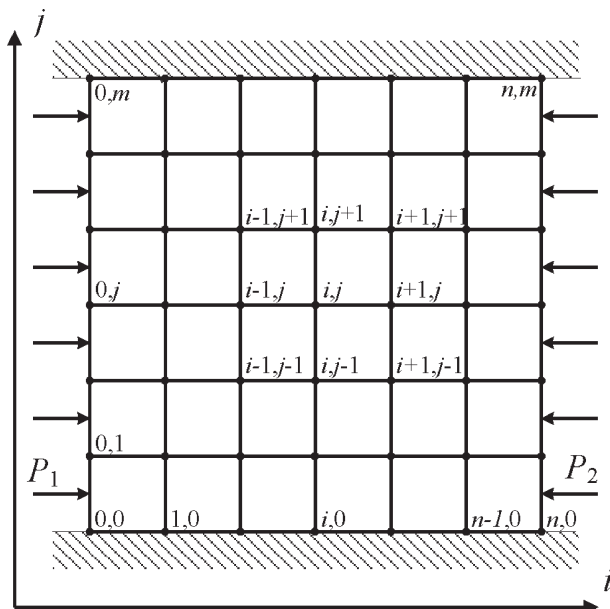


Рисунок 2 — Модель расчетной сетки, построенной на сечении цилиндра в координатах i и j

В итоге получили систему линейных обыкновенных уравнений, в которой неизвестными выступают искомые величины u_i^j, w_i^j . Для удобства решения представим выражение (12) в следующем виде:

$$\left\{ \begin{aligned} & A_i u_i^j + A1_i u_{i+1}^j + A2_i u_{i-1}^j + A3 u_i^{j+1} + A3 u_i^{j-1} + \\ & + A4 w_{i+1}^{j+1} + A4 w_{i-1}^{j-1} + (-A4) w_{i+1}^{j-1} + (-A4) w_{i-1}^{j+1} = \\ & = R_2 \cdot \left\{ (1+\nu) \frac{\varepsilon_{i+1,j}^{ST} - \varepsilon_{i-1,j}^{ST}}{2\Delta\rho} + \right. \\ & + (1-2\nu) \left(\frac{\varepsilon_{11i+1,j}^{CP} - \varepsilon_{11i-1,j}^{CP}}{2\Delta\rho} + \frac{1}{\rho} (\varepsilon_{11i,j}^{CP} - \varepsilon_{22i,j}^{CP}) + \right. \\ & \left. \left. + \frac{1}{2} \frac{\varepsilon_{13i,j+1}^{CP} - \varepsilon_{13i,j-1}^{CP}}{2\Delta\xi} \right) \right\}, \\ & B u_i^{j+1} + (-B) u_i^{j-1} + B1_i u_{i+1}^{j+1} + B1_i u_{i-1}^{j-1} + \\ & + (-B1_i) u_{i+1}^{j-1} + (-B1_i) u_{i-1}^{j+1} + B2_i w_i^j + B3_i w_{i+1}^j + \\ & + B4_i w_{i-1}^j + B5_i w_i^{j+1} + B5_i w_i^{j-1} = \\ & = R_2 \cdot \left\{ 2\rho_i (1+\nu) \frac{\varepsilon_{i,j+1}^{ST} - \varepsilon_{i,j-1}^{ST}}{2\Delta\xi} + (1-2\nu) \times \right. \\ & \left. \times \left(2\rho_i \frac{\varepsilon_{33i,j+1}^{CP} - \varepsilon_{33i,j-1}^{CP}}{2\Delta\xi} + \rho \frac{\varepsilon_{13i+1,j}^{CP} - \varepsilon_{13i-1,j}^{CP}}{2\Delta\rho} + \varepsilon_{13i,j}^{CP} \right) \right\}, \end{aligned} \right. \quad (13)$$

где:

$$\left\{ \begin{aligned} A_i &= \left(-\frac{2(1-\nu)}{h^2} - \frac{1-\nu}{\rho_i^2} - \frac{1-2\nu}{h^2} \right); \\ A1_i &= \frac{1-\nu}{h^2} + \frac{1-\nu}{2\rho_i h}; \quad A2_i = \frac{1-\nu}{h^2} - \frac{1-\nu}{2\rho_i h}; \\ A3 &= \frac{1-2\nu}{2h^2}; \quad A4 = \frac{1}{8h^2}; \quad B = \frac{1}{4h}; \quad B1_i = \frac{\rho_i}{8h^2}; \\ B2_i &= -\frac{2\rho_i(1-\nu)}{h^2} - \frac{\rho_i(1-2\nu)}{h^2}; \\ B3_i &= \frac{\rho_i(1-2\nu)}{2h^2} + \frac{1-2\nu}{4h}; \\ B4_i &= \frac{\rho_i(1-2\nu)}{2h^2} - \frac{1-2\nu}{4h}; \quad B5_i = \rho_i(1-\nu). \end{aligned} \right. \quad (14)$$

Для решения системы уравнений (13) воспользуемся методом Гаусса-Жордана, как наиболее известным методом решения таких систем. Представим выражение (13) в матричной форме типа $U \cdot A = P$, где матрица U — матрица неизвестных $U(u, w)$; A — матрица коэффициентов $A(A_i, A1_i, A2_i, A3, A4, B, B1_i, B2_i, B3_i, B4_i, B5_i)$, P — матрица свободных членов.

В качестве конкретного примера рассмотрим распределение эквивалентных напряжений (рисунок 3) для j -ого слоя стального цилиндра внутренним $R_1=0,003$ м и внешним $R_2=0,0033$ м радиусом, где температура на внутренней поверхности T_j составляет 450°C , внутренней $P_1=7,5$ МПа и внешней $P_2=0,1$ МПа нагрузкой, со следующими физико-механическими данными: $E=2 \cdot 10^5$ МПа, $\nu=0,3$, $\alpha=18,3 \cdot 10^{-6}$ град $^{-1}$.

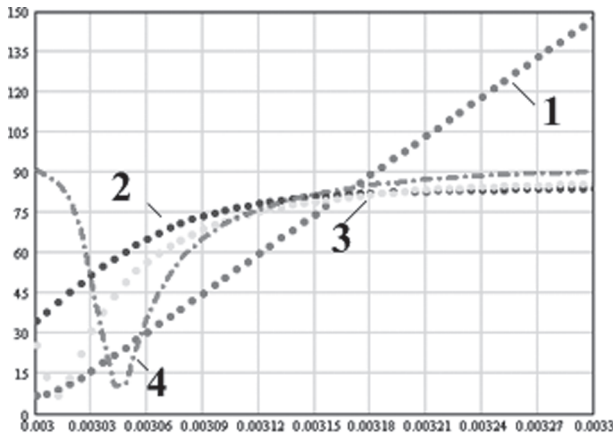


Рисунок 3 — Распределение эквивалентных напряжений с учетом деформаций ползучести: 1 — в начальный момент времени, 2 — по истечении 1000 часов, 3 — по истечении 4000 часов, 4 — по истечении 7000 часов

В итоге можно говорить, что выражение (14) позволяет достаточно точно определять напряженно-деформированное состояние полого короткого цилиндра, находящегося под действием поля высоких температур, нейтронного облучения с учетом деформаций ползучести, вызванных

терморadiационным воздействием, и пластичности. Аналогичный метод решения был реализован в работе [6] для более частного случая — бесконечно длинного цилиндра, а более подробный метод решения задач с учетом деформаций ползучести, представлен в работе [7].

Список литературы

1. Куликов, И.С. Прочность элементов конструкций при облучении / И.С. Куликов, Б.Е. Тверковкин. — Минск, 1990. — 144 с.
2. Куликов, И.С. Прочность тепловыделяющих элементов быстрых газоохлаждаемых реакторов / И.С. Куликов, Б.Е. Тверковкин. — Минск, 1984. — 104 с.
3. Тимошенко, С.П. Теория упругости / С.П. Тимошенко, Дж. Гудьер. — М.: Наука, 1975. — 576 с.
4. Deformation of fuel element boxes in gas-cooled fast breeder reactors due to neutron irradiation induced swelling of steel / W. Helbling [et al.] // Nuclear Engineering and Design. — 1971. — Vol. 16; No 1. — pp. 59—66.
5. Исследование распухания конструкционных материалов / Быков В.Н. [и др.]. — М.: Атомиздат, 1974. — С. 414—423.
6. Клус, С.А. НДС неравномерно нагретого полого короткого цилиндра с учетом тепловой и радиационной ползучести / С.А. Клус, И.С. Куликов. — Минск: Машиностроение, 2008. — Т. 1; № 24. — С. 179—182.
7. Куликов, И.С. Влияние деформаций ползучести, вызванных тепловым и радиационным воздействием, на НДС тел цилиндрической геометрии / С.А. Клус, И.С. Куликов // Вестн. БНТУ. — 2010. — № 2. — С. 64—66.

Kulikov I.S., Klus S.A.

Method of calculation of the stress-strain state of bodies having cylindrical geometry of final length under acting of irregular heating, nuclear radiation

Features of the stress-strain state of bodies have cylindrical geometry under acting of irregular heating and nuclear radiations on an example of the short thick-walled cylinder are considered. The basic parities for the numerical decision of the given problem taking into account plasticity and creep deformations are received.

Поступила в редакцию 25.05.2010